

α_{03} – осредненный коэффициент линейного температурного расширения; G_3, K_3 – модули сдвига и объемного деформирования.

Для составления алгоритма решения задачи выделим в компонентах тензора напряжений линейную (индекс “e”) и нелинейную (индекс “ ω ”) составляющие:

$$\begin{aligned} \sigma_{\alpha}^{(k)} &= \sigma_{\alpha e}^{(k)} - \sigma_{\alpha \omega}^{(k)}; \quad \sigma_{rz}^{(3)} = \sigma_{rze}^{(3)} - \sigma_{rz\omega}^{(3)}; \\ \sigma_{\alpha e}^{(k)} &= 2G_k \varepsilon_{\alpha}^{(k)} + 3K_k \varepsilon^{(k)}; \quad \sigma_{rze}^{(3)} = 2G_3 \varepsilon_{rz}^{(3)}. \end{aligned}$$

Нелинейные составляющие напряжений в соответствии с формулами (1), (2) для несущих слоев имеют вид ($k = 1, 2, \alpha = r, \varphi$):

$$\begin{aligned} \sigma_{\alpha \omega}^{(k)} &= 2G_k (T) \left(\omega_1^{(k)} (\varepsilon_u^{(k)}, T) \varepsilon_{\alpha}^{(k)} - \right. \\ &\left. - \int_0^t R_k(t-\tau, T) f_2^{(k)} (\varepsilon_u^{(k)}, T) \varepsilon_{\alpha}^{(k)} (\tau) d\tau \right) + 3K_k \alpha_{0k} T. \end{aligned}$$

В заполнителе

$$\begin{aligned} \sigma_{\alpha \omega}^{(3)} &= 2G_3 (\omega^{(3)} (\varepsilon_u^{(3)}, T) \varepsilon_{\alpha}^{(3)} - \\ &- \int_0^t R_3(t-\tau) f^{(3)} (\varepsilon_u^{(3)}) \varepsilon_{\alpha}^{(3)} (\tau) d\tau) + \\ &+ 3K_3 \alpha_{03} T + \omega_1^{(3)} S_{\alpha}^{(3)} + \omega_2^{(3)} \sigma^{(3)}; \\ \sigma_{rz\omega}^{(3)} &= 2G_3 (\omega^{(3)} (\varepsilon_u^{(3)}, T) \varepsilon_{rz}^{(3)} - \\ &- \int_0^t R_3(t-\tau) f^{(3)} (\varepsilon_u^{(3)}) \varepsilon_{rz}^{(3)} (\tau) d\tau) + \omega_1^{(3)} S_{rz}^{(3)}, \\ \omega_{\gamma}^{(3)} &= \varphi_{\gamma} (\sigma^{(3)}) - 1, \quad (\gamma = 1, 2). \end{aligned}$$

Система дифференциальных уравнений равновесия в итерациях, описывающая вязкоупругопластическое деформирование трехслойной пластины при нагружении из естественного состояния, формально совпадает с приведенной в [3]:

$$\begin{aligned} L_2(a_1 u^n + a_2 \psi^n - a_3 w_{,r}^n) &= -p + p_{\omega}^{n-1}; \\ L_2(a_2 u^n + a_4 \psi^n - a_5 w_{,r}^n) - 2cG_3 \psi^n &= h_{\omega}^{n-1}; \\ L_3(a_3 u^n + a_5 \psi^n - a_6 w_{,r}^n) &= -q + q_{\omega}^{n-1}, \end{aligned} \quad (3)$$

где a_i – коэффициенты, зависящие от геометрических и упругих параметров материалов слоев, вычисляются по известным формулам [3], однако входящие в них упругие параметры здесь зависят от температуры; $L_2(g), L_3(g)$ – дифференциальные операторы,

$$\begin{aligned} L_2(g) &\equiv \left(\frac{1}{r} (rg)_{,r} \right)_{,r} \equiv g_{,rr} + \frac{g_{,r}}{r} - \frac{g}{r^2}; \\ L_3(g) &\equiv \frac{1}{r} (rL_2(g))_{,r} \equiv g_{,rrr} + \frac{2g_{,r}}{r} - \frac{g_{,r}}{r^2} + \frac{g}{r^3}. \end{aligned}$$

Запятая в нижнем индексе обозначает операцию дифференцирования по следующей за ней координате.

нате.

Величины $p_{\omega}^{n-1}, h_{\omega}^{n-1}, q_{\omega}^{n-1}$ называют “дополнительными” внешними нагрузками и на первом шаге ($n = 1$) полагают равными нулю, а в дальнейшем вычисляют по результатам предыдущего приближения:

$$\begin{aligned} p_{\omega}^{n-1} &= T_{r\omega}^{n-1} + \frac{1}{r} (T_{r\omega}^{n-1} - T_{\varphi\omega}^{n-1}); \\ h_{\omega}^{n-1} &= H_{r\omega}^{n-1} + \frac{1}{r} (H_{r\omega}^{n-1} - H_{\varphi\omega}^{n-1}) - Q_{\omega}^{n-1}; \\ q_{\omega}^{n-1} &= M_{r\omega}^{n-1} + \frac{1}{r} (2M_{r\omega}^{n-1} - M_{\omega\omega}^{n-1}), \end{aligned}$$

где

$$\begin{aligned} T_{\alpha\omega}^{n-1} &\equiv \sum_{k=1}^3 T_{\alpha\omega}^{(k)n-1} = \sum_{k=1}^3 \int_{h_k} \sigma_{\alpha\omega}^{(k)n-1} dz; \\ M_{\alpha\omega}^{n-1} &\equiv \sum_{k=1}^3 M_{\alpha\omega}^{(k)n-1} = \sum_{k=1}^3 \int_{h_k} \sigma_{\alpha\omega}^{(k)n-1} z dz; \\ H_{\alpha\omega}^{n-1} &= M_{\alpha\omega}^{(3)n-1} + c (T_{\alpha\omega}^{(1)n-1} - T_{\alpha\omega}^{(2)n-1}); \\ Q_{\omega}^{n-1} &= \int_{-c}^c \sigma_{rz}^{(3)n-1} dz; \quad (\alpha = r, \varphi). \end{aligned}$$

При указанных условиях теплообмена температурное поле неоднородно только по толщине пластины, соответствующий расчет приведен в литературе [1]. Здесь, при вычислении упругих параметров температурное поле усредняется по толщине каждого слоя:

$$T_0^{(k)}(t) = \frac{1}{h_k} \int_{h_k} T^{(k)}(z, t) dz,$$

$$G^{(k)}(T^{(k)}) \equiv G^{(k)}(T_0^{(k)}); \quad K^{(k)}(T^{(k)}) \equiv K^{(k)}(T_0^{(k)}).$$

Таким образом, итерационное решение рассматриваемой задачи о деформировании кольцевой вязкоупругопластической пластины при нагружении из естественного состояния будет следующим:

$$\begin{aligned} u^n &= \frac{a_3}{a_1} w_{,r}^n - \frac{a_2}{a_1} \psi^n - \frac{1}{a_1} L_2^{-1} (p - p_{\omega}^{n-1}) + \frac{C_7^n r}{2} + \frac{C_8^n}{r}; \\ \psi^n &= C_2^n I_1(\beta r) + C_3^n K_1(\beta r) - K_1(\beta r) \int I_1(\beta r) f^n(r) r dr + \\ &+ I_1(\beta r) \int K_1(\beta r) f^n(r) r dr, \\ f^n(r) &= \frac{b_3}{b_1 b_3 - b_2^2} \left[h_{\omega}^{n-1} + (p - p_{\omega}^{n-1}) \frac{a_2 b_3 - a_3 b_2}{a_1 b_3} + \right. \\ &\left. + \frac{b_2}{b_3 r} \int (q - q_{\omega}^{n-1}) r dr \right] - \frac{b_2 C_1^n}{r (b_1 b_3 - b_2^2)}; \end{aligned}$$

$$w^n = \frac{b_2}{b_3} \int \psi^n dr - \frac{a_3}{b_3 a_1} \int L_2^{-1}(p - p_\omega^{n-1}) dr - \frac{C_1^n r^2}{4b_3} (\ln r - 1) + \frac{1}{b_3} \int L_3^{-1}(q - q_\omega^{n-1}) dr + \frac{C_5^n r^2}{4} + C_6^n \ln r + C_4^n,$$

где $I_1(\beta r)$ – модифицированная функция Бесселя первого порядка; $K_1(\beta r)$ – функция Макдональда первого порядка; параметры β, b_i формально совпадают с приведенными в [3]; L_2^{-1}, L_3^{-1} – линейные интегральные операторы, обратные дифференциальным операторам (3),

$$L_2^{-1}(f) \equiv \frac{1}{r} \int r \int f dr dr; \quad L_3^{-1}(f) \equiv \frac{1}{r} \int r \int \frac{1}{r} \int r f dr dr dr.$$

Константы интегрирования $C_1^n \dots C_8^n$ следуют из граничных условий на внешнем и внутреннем контурах. Например, в случае заделки обоих контуров они являются решением системы из восьми линейных уравнений

$$u = \psi = w = w_{,r} = 0 \text{ при } r = r_0 \text{ и } r = 1,$$

и определяются соотношениями, полученными в [4].

Численные результаты. Получены для трехслойной кольцевой пластины, заделанной на внешнем и внутреннем контурах. Материал несущих слоев – дюралюминий, наполнитель – фторопласт. Теплотой, ушедшей на нагревание внешнего металлического слоя, пренебрегаем (в силу его тонкости и малой теплоемкости) и считаем его температуру равной температуре наполнителя в месте склейки: $T^{(1)} = T^{(3)}(c, t)$. Подобным образом поступаем с температурой внутреннего слоя: $T^{(2)} = T^{(3)}(-c, t)$. Вся теплота, воспринимаемая пластиной за время t , идет на нагревание наполнителя.

Величина нагрузки ($q = 3,0 \cdot 10^7$), интенсивность теплового потока ($q_t = 5000 \text{ Дж}/(\text{м}^2 \cdot \text{с})$), время их воздействия ($t_0 = 10 \text{ мин}$) и относительные толщины слоев ($h_1 = h_2 = 0,04, h_3 = 0,4$) подбирались таким образом, чтобы нелинейные, теплофизические и реономные свойства материалов проявились в достаточной степени. Аналитический вид материальных функций физической нелинейности, экспериментальные параметры и константы материалов заимствованы в [1].

Численная реализация решения показала практическую сходимость метода последовательных приближений. За искомое решение принято 13-е приближение, его отличие от предыдущего составляет менее 1 %.

Учет упругопластических, нелинейных и реономных свойств материалов несущих слоев и наполнителя приводит при температурном воздействии к увеличению расчетного упругого прогиба на 101 % (кривые 1, 4 на рисунке 1).

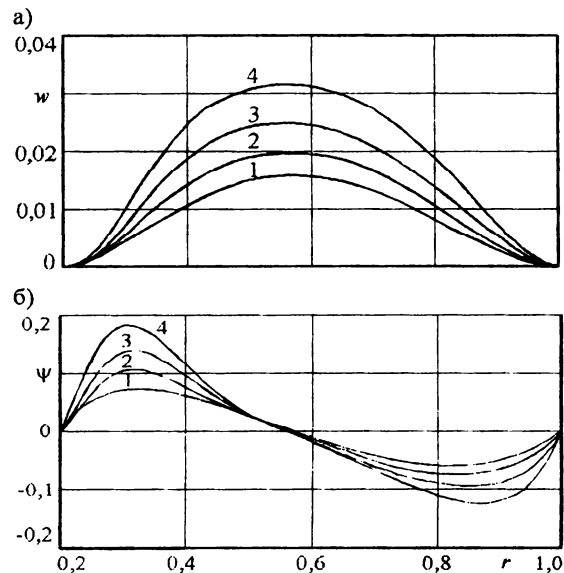


Рисунок 1 – Изменение прогиба (а) и относительного сдвига в наполнителе (б) по радиусу пластины: 1 – упругая пластина; 2 – упругопластическая пластина; 3 – термоупругопластическая пластина; 4 – термовязкоупругопластическая пластина

Из рисунка 2 видно, что уточнение физических уравнений состояния рассчитываемой модели влечет за собой увеличение областей пластических деформаций в несущих слоях и областей нелинейности в наполнителе. Воздействие температурного поля приводит к тому, что 1-й несущий слой полностью деформируется пластично (рисунок 2, б, в).

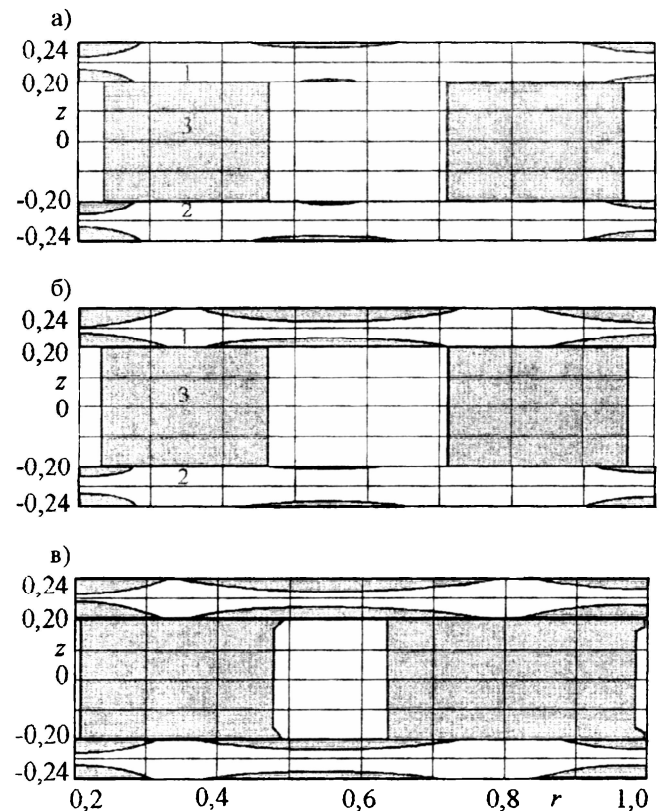


Рисунок 2 – Области пластичности в несущих слоях (1, 2) и физической нелинейности в наполнителе (3): а – упругопластическая пластина; б – термоупругопластическая пластина; в – вязкотермоупругопластическая пластина

Вывод. Учет температуры, нелинейных и реологических свойств материалов слоев вносит существенные поправки в соответствующие расчеты трехслойных элементов конструкций.

венные поправки в соответствующие расчеты трехслойных элементов конструкций.

Список литературы

1 Старовойтов Э. И. Основы теории упругости, пластичности и вязкоупругости. – Гомель: БелГУТ, 2001. – 343 с.

2 Белл Дж. Ф. Экспериментальные основы механики деформируемых твердых тел. Ч. 1. – М.: Наука, 1984. – 1027 с.

3 Орлов С. А. Упругопластический изгиб трехслойной кольцевой пластины // *Материалы, технологии, инструменты*. – 2001. – № 4. – Т. 6. – С. 20–23.

4 Старовойтов Э. И., Орлов С. А. Изгиб трехслойной кольцевой пластины // *Вопросы машиностроения и автоматизации*. – 2001. – № 4. – С. 48–52.

Получено 31.01.2002

S. A. Orlov Thermoviscoelastoplastic bending of sandwich ring plate.

A formulation of boundary problem of thermoviscoelastoplastic bending of sandwich ring shaped plate is given. Analytical decision is received in iterations. Numeric realization of solution is made.

Вестник Белорусского государственного университета транспорта: Наука и транспорт. 2002. № 1 (4)

УДК 625.143.482

С. И. ЖОГАЛЬ, кандидат технических наук; *В. И. МАТВЕЦОВ*, кандидат технических наук;
С. А. ВАЩЕНКО, ассистент; *Белорусский государственный университет транспорта, г. Гомель*

ИССЛЕДОВАНИЕ ВЫНУЖДЕННЫХ СЛУЧАЙНЫХ КОЛЕБАНИЙ БАЛОК БЕСКОНЕЧНОЙ ДЛИНЫ НА РАВНОУПРУГОМ ОСНОВАНИИ

Рассматривается методика исследования вынужденных колебаний балок с помощью асимптотических методов нелинейной механики, аппарата теории марковских диффузионных процессов и уравнений Колмогорова-Фокера-Планка (КФП), а также перспективы применения указанной методики к исследованиям колебаний рельсовой плети бесстыкового пути как балки, лежащей на сплошном упругом основании и совершающей вынужденные случайные колебания в результате взаимодействия с подвижным составом.

Железнодорожный путь, состоящий из рельсов, креплений, шпал и балласта, по характеру своей работы можно условно считать балкой бесконечной длины, лежащей на сплошном упругом основании. При этом, с достаточной для рассуждения точностью подрельсовое основание, балласт и земляное полотно условно рассматриваются как сплошное упругое основание. В процессе эксплуатации железнодорожного пути как при его взаимодействии с подвижным составом, так и в процессах, обусловленных постоянным воздействием на путь природно-климатических факторов (в первую очередь, сезонных и суточных изменений температуры рельсов в пути), достаточно актуальной является проблема поиска путей прогнозирования надёжности его работы, основанных на применении современных методов математического моделирования. Среди традиционных конструкций железнодорожного пути наибольший интерес для исследований представляет бесстыковой путь со сварными рельсовыми плетями длиной на блок-участок, перегон и более. Эта конструкция является наиболее экономически перспективной и отвечает возможности реализации высоких скоро-

стей движения пассажирских поездов. Кроме того, в данной конструкции особенно остро могут проявить себя все неблагоприятные эксплуатационные и климатические факторы. Эти факторы обуславливают возникновение в рельсовых плетях бесстыкового пути внутренних сжимающих или растягивающих усилий, которые могут в конечном итоге привести соответственно к резкому искривлению рельсошпальной решётки в горизонтальной или вертикальной плоскости (выброс пути) или к разрыву рельсовых плетей или стыковых болтов в стыках уравнительных пролётов. Особенно актуальной является проблема предотвращения выброса бесстыкового пути впереди тормозящего поезда.

Вышеуказанные причины и обусловили применение математических методов с целью более полного и всестороннего учёта всех возможных действующих на путь неблагоприятных эксплуатационных и природно-климатических факторов с целью прогнозирования и обоснования разработки мероприятий по предотвращению возникновения этих ситуаций.

В рамках данной статьи рассматривается методика исследования случайных колебаний балок и